

تأثیر اندازه و نوع پوشش ذرات پودر آهن و میزان مس افزودنی بر ویژگی‌های گوی‌های توخالی فولادی

حمید سازگاران^{*}، علیرضا کیانی رشید^۲

۱- دانشجوی دکتری، گروه مهندسی متالورژی و مواد، دانشکده مهندسی، دانشگاه فردوسی مشهد، مشهد، ایران

۲- استاد، گروه مهندسی متالورژی و مواد، دانشکده مهندسی، دانشگاه فردوسی مشهد، مشهد، ایران

^{*}Hamid.Sazegaran@gmail.com

(تاریخ دریافت: ۱۳۹۳/۰۵/۱۸، تاریخ پذیرش: ۱۳۹۳/۰۶/۲۶)

چکیده

گوی‌های توخالی فلزی می‌توانند به صورت موفقیت‌آمیز برای ایجاد سلول‌ها و حفرات در ساختارهای سلولی و فوم‌های فلزی به کار گرفته شوند که مهم‌ترین روش‌های تولید آن‌ها بر پایه متالورژی پودر استوار می‌باشد. در این پژوهش، گوی‌های توخالی فولادی با استفاده از دانه‌های پلی‌استیرن به عنوان ماده زیرلایه و به روش متالورژی پودر تولید شدند. دانه‌های پلی‌استیرن از یک بلوک پلی‌استیرن جدا شدند و دانه‌بندی آن‌ها به اندازه‌های متفاوت توسط الک صورت گرفت. سپس، مخلوط سیلیکات سدیم به عنوان چسب و پودر آهن، بر روی دانه‌های تهیه شده پاشیده شد و پس از آغشته شدن دانه‌ها به صورت کامل، خشک شدن درون هوا صورت گرفت. بنابراین، یک لایه نازک از پودرهای آهن به همراه چسب بر روی دانه‌های پلی‌استیرن ایجاد شد. در پایان، دو فرآیند عملیات حرارتی مجزا به منظور تولید گوی‌های توخالی فولادی با استحکام بالا انجام شد که شامل تجزیه حرارتی دانه‌های پلی‌استیرن و تف‌جوشی می‌باشد. به منظور ارزیابی ضخامت و میزان تخلخل پوسته گوی‌های توخالی فولادی و بررسی معایب آن‌ها، مقاطع پوسته‌ها توسط میکروسکوپ نوری مورد مطالعه قرار گرفت. گوی‌های توخالی فولادی تقریباً دارای ضخامت یکنواخت می‌باشند. اندازه دانه‌های پودر آهن، افزودنی مس و نوع پوشش پودرهای آهن تاثیر زیادی بر روی ضخامت، کسر سطحی تخلخل، ترک‌ها و حفرات در پوسته دارند.

کلمات کلیدی:

گوی‌های توخالی فولادی، ساختارهای سلولی، متالورژی پودر، کسر سطحی تخلخل، تف‌جوشی حالت مایع.

۱- مقدمه

ترکیبی از آن‌ها) ارتباط پیدا می‌کند. قابل ذکر است که ایجاد یک مورفولوژی مشخص و تکرارپذیر از سلول‌ها شدیداً به نوع فرآیند تولید وابسته می‌باشد. فرآیندهای تولید فوم‌های فلزی شامل: (الف) تولید از حالت مذاب، (ب) تولید از حالت جامد به شکل پودر یا الیاف، (ج) تولید از حالت بخار فلز یا ترکیبات

فوم‌های فلزی و ساختارهای سلولی دسته‌ای از مواد مهندسی پیشرفت‌هه استند که به دلیل ویژگی‌هایی همانند سبک بودن، خواص فیزیکی، مکانیکی، حرارتی، الکتریکی و صوتی منحصر به فرد می‌توانند در بسیاری از کاربردها به صورت موفقیت‌آمیز استفاده شوند [۱]. مهم‌ترین عامل تاثیرگذار بر ویژگی‌های این دسته از مواد به اندازه و مورفولوژی سلول‌ها (باز، بسته و یا

افزودنی‌های مناسب، نیاز به استفاده از عملیات حرارتی مناسب برای دستیابی به کمترین درصد تخلخل در دیواره‌ها می‌باشد[۱۷]. روشی مشابه به منظور تولید گوی‌های توخالی و فوم‌های آلیاژ تیتانیوم نیز به کار برد شده است[۲۴].

استفاده از گوی‌های توخالی فولادی در ساخت قطعات دارای حرکت سریع، به علت قابلیت ارتقای و قابلیت جذب زیاد انرژی ضربات در مقایسه با قطعات مشابه ساخته شده از آلیاژ‌های آلومنیوم ترجیح داده می‌شوند. قابل ذکر است که بهبود ۸۰ درصدی شرایط اقتصادی تولید در ساخت قطعات پیچیده توسط استفاده از تکنولوژی گوی‌های توخالی ممکن شده است[۲۵]. مطالعات فراوانی بر روی روش‌های تولید گوی‌های توخالی آهنی و فولادی صورت گرفته است، اما متساقنه در هیچ‌کدام از آن‌ها تاثیر اندازه ذرات پودر آهن، استفاده از افزودنی مس و همچنین استفاده از پودرهای دارای پوشش بر روی فرآیند تولید و خصوصیات محصول تولیدی مطالعه نشده است. هدف از انجام این پژوهش، تولید گوی‌های توخالی آهنی به روش متالورژی پودر و بررسی‌های ریزساختاری بر روی دیواره‌های آن‌ها می‌باشد.

۲- مواد و روش آزمایش

۲-۱- مواد

۲-۱-۱- دانه‌های پلی‌استیرن انبساط‌یافته

دانه‌های پلی‌استیرن انبساط‌یافته به عنوان ماده اولیه مورد استفاده در تولید گوی‌های توخالی فولادی به کار برد شدن. این دانه‌ها از یک بلوك پلی‌استیرن جدا شده و دانه‌هایی که دارای شکل کروی مناسب بودند، تفکیک شدند. به منظور دستیابی به توزیع یکنواخت اندازه گوی‌های توخالی نهایی، دانه‌های پلی‌استیرن توسط الک دسته‌بندی شدند و دانه‌هایی با میانگین قطر ۵mm به منظور تولید گوی‌های توخالی به کار گرفته شدند.

گازی حاوی فلز و د) تولید از محلول حاوی یون‌های فلزی می‌باشد[۱۴].

در اغلب روش‌های تولید فوم‌های فلزی، امکان ایجاد سلول‌هایی با مورفو‌لوزی یکسان، اندازه کاملاً مشخص و توزیع یکنواخت حفرات وجود ندارد[۶-۵]. وجود نواقص مورفو‌لوزیکی موجب تولید محصولاتی می‌گردد که ویژگی‌ها و خصوصیات آن‌ها قابل پیش‌بینی نمی‌باشد و یا این که ویژگی‌های آن‌ها در قسمت‌های گوناگون محصول نهایی متفاوت می‌باشد[۷و۲]. به منظور غلبه بر این مشکل، گوی‌های توخالی فلزی می‌توانند برای ایجاد سلول‌ها در فوم‌های فلزی کامپوزیتی و ساختارهای سلولی مورد استفاده قرار گیرند. این گوی‌های توخالی می‌توانند به شیوه‌های مختلفی برای تولید مواد متخلخل به کار برد شوند که این روش‌ها شامل ریخته‌گری فلزات در بین آن‌ها، چسباندن گوی‌ها به یکدیگر و تف‌جوشی گوی‌ها می‌باشد[۸-۱۰].

روش‌های متنوعی برای ساخت و تولید گوی‌های توخالی فلزی توسعه پیدا کرده است[۱۳-۱۱و۳]. لیم^۱ و همکارانش توسط خارج کردن دوغاب پودرهای اکسید آهن و کروم از یک نازل، گوی‌های اکسیدی تولید کردند که توسط احیاء آن‌ها با هیدروژن، گوی‌های توخالی آلیاژی به دست می‌آید[۸]. در روشی دیگر که توسط موسسه فرانهوفر آلمان توسعه یافته است، دانه‌های پلی‌استیرن توسط فشار هوا درون یک محفظه معلق می‌شوند و سپس دوغابی شامل چسب و فلز بر روی آن‌ها پاشیده می‌شود. در پایان، عملیات حرارتی برای خارج شدن چسب و همچنین انجام تف‌جوشی صورت می‌گیرد[۱۴-۱۶]. در تحقیقات بهنام و همکارانش[۱۷-۱۸] نیز از روشی مشابه به منظور تولید گوی‌های توخالی فولادی استفاده شده است.

به علت تخلخل زیاد در پوسته گوی‌های توخالی تولید شده به این روش که به عدم استفاده از فشار در این روش متالورژی پودر ارتباط دارد، مدول الاستیک دیواره‌ها نسبتاً پایین است و در نتیجه، مدول الاستیک پایین ساختار گوی‌های توخالی را سبب می‌گردد[۱۹-۲۳]. به منظور بهبود ویژگی‌های الاستیکی ساختارهای گوی توخالی، علاوه بر انتخاب ماده اصلی و

۲-۱-۳- پودرهای آهن

به منظور بررسی تاثیرات اندازه ذرات پودر آهن، مس افزودنی و نوع پوشش پودرهای آهن بر روی گوی های توخالی فولادی از پودرهای آهن گوناگون برای پوشش دهی دانه های پلی استیرن استفاده شد. در جدول (۱)، مشخصات پودرهای آهن مورد استفاده و نحوه نام گذاری نمونه های تولیدی ارائه شده است. مطابق با جدول، پنج نمونه پودر متفاوت به کار گرفته شد که در پایان، پنج نمونه گوی توخالی فولادی مختلف تولید می شود. قابل ذکر است که گوی های توخالی فولادی مطابق با نام گذاری پودرهای آهن مورد استفاده، نام گذاری می شوند.

۲-۱-۲- چسب

به منظور انجام فرآیند پوشش دهی پودرهای آهن بر روی دانه های پلی استیرن از سیلیکات سدیم به عنوان چسب استفاده شد. باید در نظر داشت که چسب های معدنی نسبت به چسب های آلی ترجیح داده می شوند. علت ارجحیت چسب های معدنی در مقایسه با چسب های آلی به تجزیه شدن چسب های آلی در هنگام عملیات های حرارتی تجزیه پلی استیرن و زینترینگ و جدا شدن پودرهای آهن از یکدیگر ارتباط دارد. قابل ذکر است که سیلیکات سدیم در دماهای بالای عملیات تفجوشی نیز می تواند پودرهای آهن را به خوبی در کنار یکدیگر نگه دارد و در نتیجه، اتصال مناسبی را فراهم آورد.

جدول (۱): مشخصات پودرهای مورد استفاده و نحوه نام گذاری نمونه های تولیدی.

نام نمونه	ترکیب شیمیایی (درصد وزنی)	نوع پوشش	اندازه ذرات پودر (میکرون)
A	Fe-۰/۵C*	ندارد	<۱۰۰
B	Fe-۰/۵C*	ندارد	<۱۰
C	Fe-۱۵Cu**-۰/۵C*	ندارد	<۱۰۰
D	Fe	مس	<۱۰۰
E	Fe	برنز	<۱۰۰

* ذرات پودر کربن دارای اندازه بسیار ریز می باشند.

** ذرات پودر مس دارای اندازه کوچک تر از ۱۰۰ میکرون می باشند.

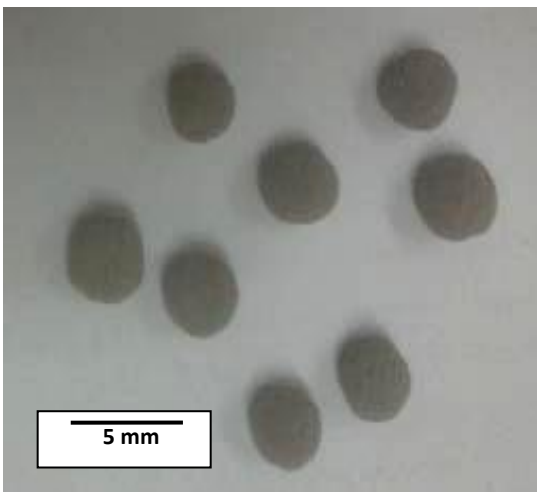
شیشه ای معلق می شوند. محفظه شیشه ای دستگاه به شکل مکعب مستطیل است و ابعاد آن به صورت $50\text{cm} \times 50\text{cm} \times 30\text{cm}$ می باشد.

سیستم پاشش خود دارای یک محفظه پلاستیکی است که مخلوط چسب و پودرهای آهن درون آن قرار می گیرند. بر روی درب این محفظه یک الکتروموتور به همراه یک پروانه تعییه شده است. پروانه درون مخلوط چسب و پودرهای آهن با سرعت ۱۰۰ دور بر دقیقه می چرخد و در نتیجه، مخلوطی همگن حاصل می شود و انجام این فرآیند از تهشیش شدن پودرهای آهن جلوگیری می کند. سپس، مخلوط سیلیکات سدیم به عنوان چسب و پودر آهن توسط سیستم پاشش بر روی

۲-۲- فرآیند تولید گوی های توخالی

۲-۲-۱- پوشش دهی دانه های پلی استیرن

در این مرحله، دانه های پلی استیرن تهیه شده با قطر ۵mm برای پوشش دهی به کار گرفته شدند. به منظور انجام فرآیند پوشش دهی دانه های پلی استیرن، یک دستگاه خاص طراحی و ساخته شد. این دستگاه دارای یک محفظه شیشه ای، یک سیستم تولید هوای فشرده (پمپ باد) و یک سیستم پاشش می باشد. باید توجه داشت که فشار هوای تولید شده توسط دستگاه به مقداری است که برای معلق شدن دانه های پلی استیرن درون محفظه شیشه ای و همچنین پاشش مخلوط چسب و پودرهای آهن کفايت می کند. در ابتدا، دانه های پلی استیرن توسط فشار هوای تامين شده توسط دستگاه درون محفظه



شکل (۱): نمایش گوی‌های توخالی فولادی تولید شده

برای این که اتصال ذرات پودر آهن به یکدیگر به صورت قوی تشکیل شود و استحکام گوی‌های توخالی تولیدی افزایش یابد، فرآیند تف‌جوشی انجام می‌گیرد. عملیات تف‌جوشی در یک کوره صنعتی تونلی (مربوط به شرکت متالورژی پودر مشهد) که به صورت پیوسته کار می‌کند، در دمای 1120°C به مدت ۴ ساعت صورت گرفت. کوره مورد استفاده قابلیت کنترل اتمسفر را دارد. اتمسفر استفاده شده در عملیات تف‌جوشی، آمونیاک شکسته می‌باشد. برای جلوگیری از اتصال گوی‌های توخالی به یکدیگر در حین فرآیند تف‌جوشی، گوی‌ها درون یک محفظه قرار می‌گیرند و فضای بین آن‌ها توسط ذرات پودر آلومینا پُر می‌شود. قابل ذکر است که در هنگام انجام فرآیند تف‌جوشی، پودرهای آلومینا هیچ گونه واکنش شیمیایی یا فیزیکی با محصولات تولیدی ندارند.

۳-۲- تعیین ضخامت پوسته و کسر سطحی تخلخل و بورسی توکوها و حفرات در پوسته گوی‌های تولید شده به منظور انجام آزمایشات متالوگرافی، مانند سرد شدن. سپس نمونه‌های مانند شده به صورت مقطعی از وسط بریده شدن. پس از برش، فرآیندهای سمباده‌زنی و پولیش بر روی نمونه‌های تولید شده انجام شد و تصاویر متالوگرافی بدون انجام فرآیند اچ توسط میکروسکوپ نوری

دانه‌های پلی‌استیرن معلق درون محفظه شیشه‌ای پاشیده می‌شوند.

بر اساس این که پاشش مخلوط چسب و پودرهای آهن نیروی در امتداد افق به دانه‌های پلی‌استیرن وارد می‌کند، این دانه‌ها درون محفظه شیشه‌ای به چرخش در می‌آیند. این عمل موجب می‌شود که مخلوط سلیکات سدیم و پودر آهن به صورت کامل سطح دانه‌های پلی‌استیرن را پوشاند. بعد از انجام این فرآیند به مدت ۴۰ ثانیه، سیستم خاموش می‌شود و دانه‌های پوشش داده شده در انتهای محفظه شیشه جمع می‌شوند. سپس محصولات تولید شده از درون محفظه خارج می‌شوند. این انتظار وجود دارد که یکنواخت بودن ضخامت پوشش مخلوط چسب و پودرهای آهن قرار گرفته بر روی دانه‌های پلی‌استیرن واپسی به درصد چسب و پودر آهن مورد استفاده، غلظت چسب، چگونگی معلق شدن دانه‌های پلی‌استیرن درون محفظه و زمان نگهداری درون محفظه باشد. در شکل (۱)، نمونه‌ای از گوی‌های توخالی فولادی تولید شده به تصویر کشیده شده است.

۲-۲-۲- تجزیه حرارتی دانه‌های پلی‌استیرن و تف‌جوشی در مرحله قبل، فرآیند پوشش‌دهی ذرات پودر آهن بر روی زیرلايهایی از دانه‌های پلی‌استیرن صورت گرفت. در این مرحله، با استفاده از عملیات حرارتی می‌توان زیرلايهای پلی‌استیرن را تجزیه و سپس عملیات تف‌جوشی را انجام داد. در ابتدا، گوی‌های تولیدی مرحله قبل درون یک آون با دمای 100°C به مدت ۱ ساعت قرار می‌گیرند. این امر موجب می‌گردد که دانه‌های پلی‌استیرن به صورت تدریجی تجزیه شوند و گازهای تولید شده از لابهای ذرات پودر آهن خارج شوند. در نتیجه، گوی‌های توخالی فولادی کم استحکام تولید شود.

گوی های توخالی فولادی تحت تاثیر مشخصات پودرهای مورد استفاده و متغیرهای فرآیند تولید می باشد. با توجه به این که در فرآیند تولید، پوشش دهی به صورت کاملاً یکنواخت بر روی دانه های پلی استیرن صورت گرفته است، این احتمال وجود دارد که تغییر در ضخامت پوسته ها تحت تاثیر اندازه، افزودنی و نوع پوشش پودرها قرار گرفته است. علاوه بر این، به علت این که فرآیند تفجوشی در نمونه ساخته شده از پودرهای آهن با پوشش مس (نمونه D) و در نمونه ساخته شده از پودرهای آهن کوچکتر از ۱۰ میکرون (نمونه B) بهتر انجام شده است، ایجاد یکنواختی بیشتر در ضخامت پوسته ها و همچنین افزایش ضخامت پوسته قابل انتظار می باشد. بنابراین، استفاده از پودرهای حاوی پوشش مس و پودرهای ریزتر می تواند موجب بهبود یکنواختی ضخامت پوسته شود. در نمونه E که از پوشش برنز بر روی پودرهای آهن استفاده شده است، عنصر قلع موجود در برنز در دمای تفجوشی، به صورت سطحی ذوب و تبخیر می شود. این انتظار وجود داشت که ذوب برنز در حد فاصل ذرات پودر آهن موجب ایجاد تفجوشی حالت مایع شود و در نتیجه، اتصال مناسب تری صورت گیرد، اما تبخیر سطحی عنصر قلع به علت فشار بخار زیاد آن در دمای تفجوشی سبب جدا شدن اتصال بین پودرهای آهن می گردد که کاهش در ضخامت پوسته و همچنین عدم یکنواختی در ضخامت پوسته ها را نتیجه می دهد.

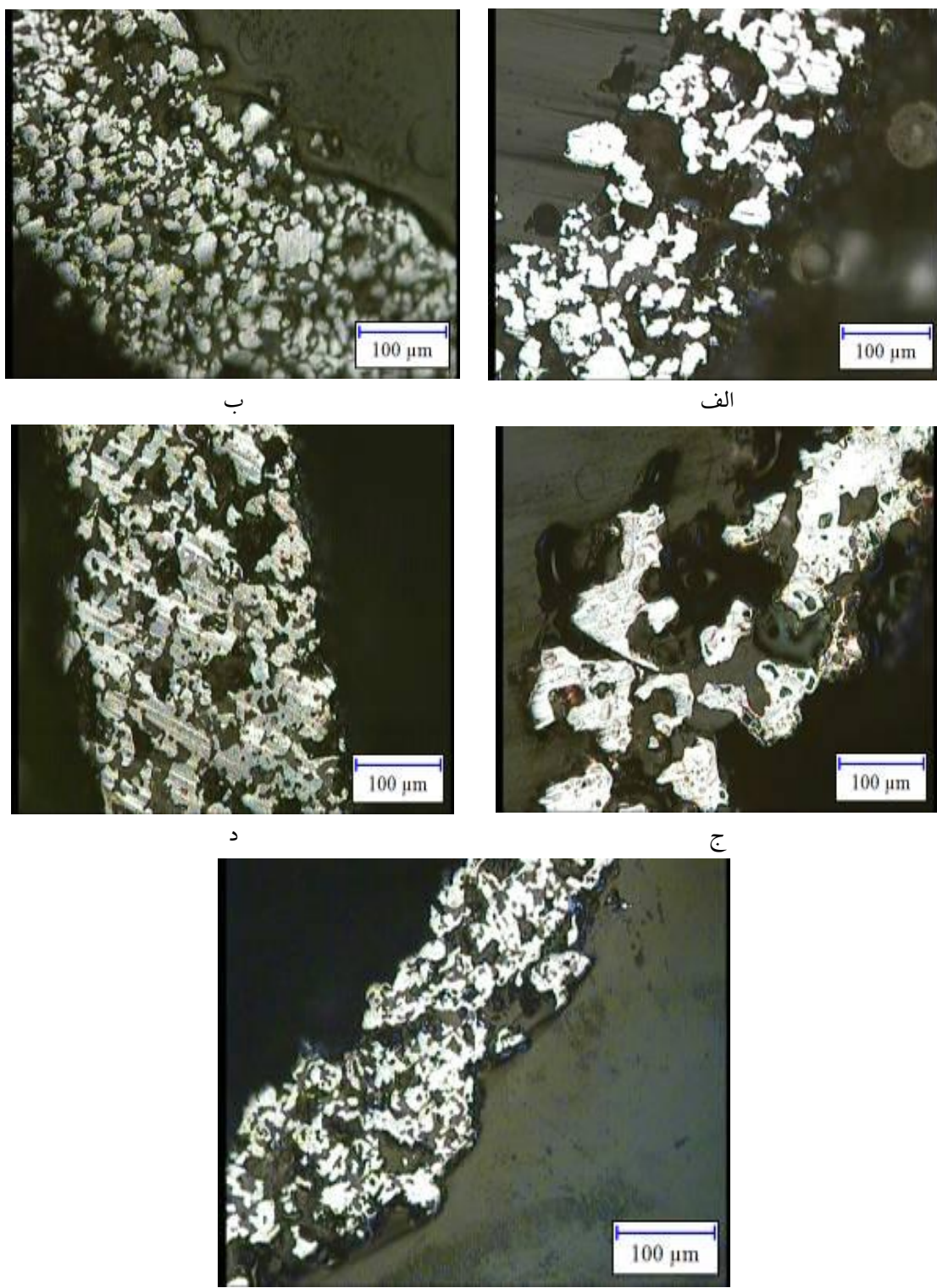
در بزرگنمایی های گوناگون تهیه گردید. نرم افزار پردازش تصویر MIP که توسط شرکت نهامین پردازان آسیا تولید شده است، به منظور تحلیل تصاویر به دست آمده از میکروسکوپ نوری به کار گرفته شد. توسط نرم افزار پردازش تصویر، ضخامت و کسر سطحی تخلخل در قسمت پوسته گوی های ضخامت پوسته گویی شد. تصاویر به دست آمده در بزرگنمایی ۲۰۰ برابر به ۱۰۰ برابر و تصاویر به دست آمده در بزرگنمایی ۲۰۰ برابر به ترتیب برای تعیین ضخامت پوسته و درصد تخلخل به کار گرفته شدند. قابل ذکر است که برای تعیین ضخامت پوسته ۱۵ اندازه گیری بر روی ۵ تصویر متفاوت از پوسته گوی های تهیه شده و برای تعیین درصد تخلخل ۵ اندازه گیری انجام شد و نتایج براساس میانگین اعداد به دست آمده ارائه می گردد.

۳- نتایج و بحث

۳-۱- تعیین ضخامت پوسته

تعیین ضخامت پوسته توسط برش مقطعی گوی های مانت سرد شده و با به کار گیری نرم افزار پردازش تصاویر متالوگرافی امکان پذیر شد. تصاویر تهیه شده توسط میکروسکوپ نوری با بزرگنمایی ۱۰۰ برابر به منظور تعیین ضخامت پوسته گوی های توخالی فولادی به کار برده شدند که در شکل (۲)، نمونه ای از تصاویر مورد استفاده نمایش داده شده است. مطابق با شکل مشخص می شود که نمونه های تولید شده B و D دارای ضخامت یکنواخت تری نسبت به سایر نمونه ها می باشند. در جدول (۲)، میانگین ضخامت پوسته گوی های توخالی فولادی ارائه شده است. مطابق با جدول، میانگین ضخامت پوسته در نمونه های مطالعه شده بین ۱۶۵ تا ۳۰۰ میکرون می باشد. قابل ذکر است که ضخامت پوسته اندازه گیری شده در مطالعات بهنام و همکارانش در محدوده ۱۰۰ تا ۲۰۰ میکرون می باشد که تطبیق نتایج به دست آمده با سایر مطالعات را نشان می دهد [۱۷].

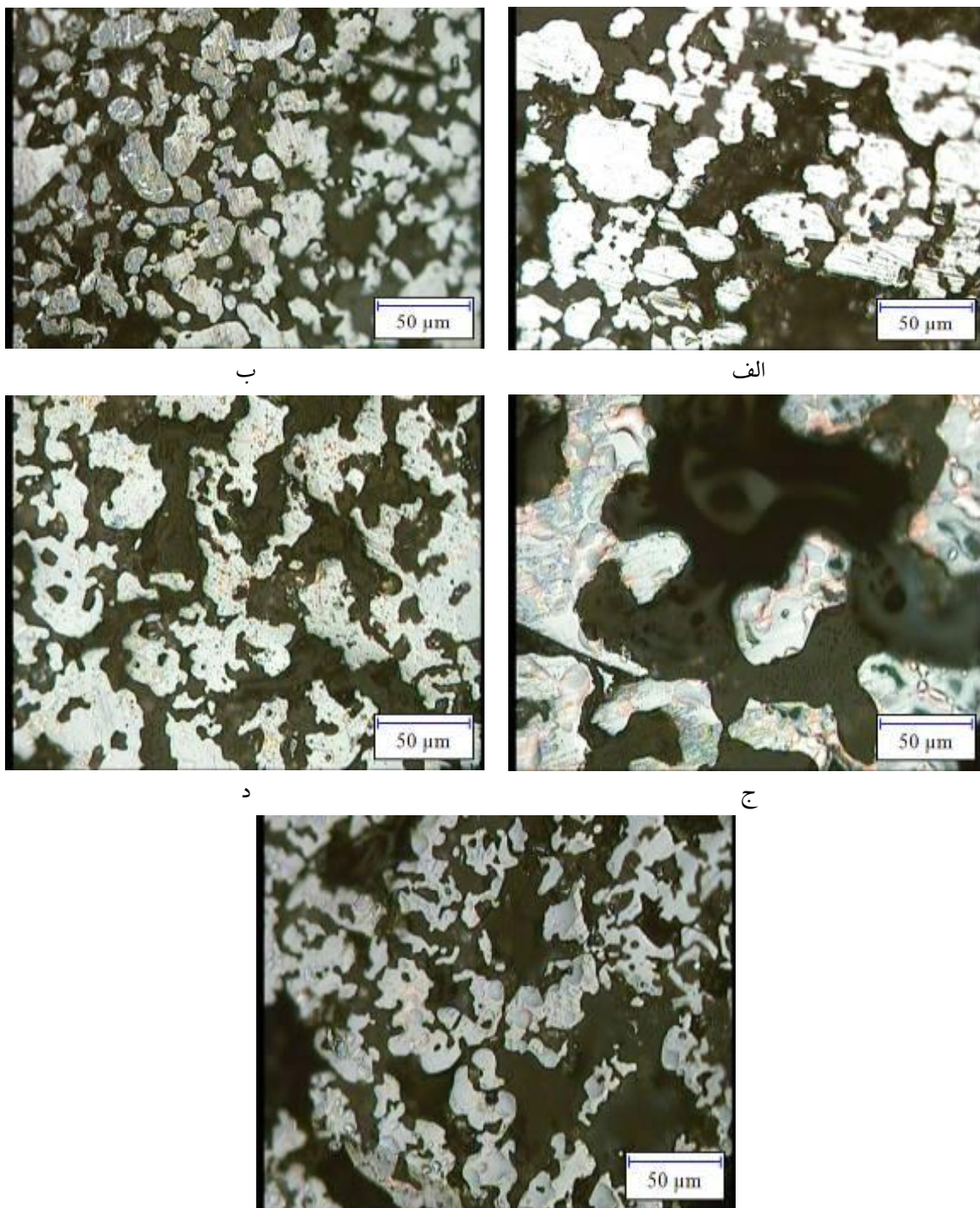
علاوه بر این، بیشترین ضخامت مربوط به نمونه D و پس از آن به ترتیب مربوط به نمونه های B، A، C و E می باشد. ضخامت



شکل (۲): تصاویر متالوگرافی از بخش مقطعی پوسته گوی‌های تولید شده: (الف): نمونه A، (ب): نمونه B، (ج): نمونه C، (د): نمونه D و (ه): نمونه E

۲-۲- کسر سطحی تخلخل ها

تصاویر تهیه شده در بزرگنمایی ۲۰۰ برابر از مقطع پوسته گوی های تولید شده در شکل (۳) نمایش داده است.



شکل (۳): تصاویر میکروسکوپ نوری از مقطع پوسته گوی های تولید شده به منظور بررسی درصد تخلخل: (الف): نمونه A، (ب): نمونه B، (ج): نمونه C، (د): نمونه D و (ه): نمونه E

موجود در پوشش برنزی پودرهای آهن و همچنین ذوب برنز، کسر سطحی تخلخل‌ها به بیشترین مقدار افزایش می‌یابد.

جدول (۳): نتایج کسر سطحی تخلخل‌های موجود در پوسته.

نام نمونه	کسر سطحی تخلخل (%)
A	۵۳/۱۷
B	۵۱/۵۰
C	۵۸/۲۹
D	۴۹/۸۹
E	۶۴/۴۳

میزان تخلخل‌ها در پوسته گوی‌های توخالی فولادی به مشخصات پودرهای مورد استفاده، مقدار چسب، زمان پوشش‌دهی، دما و زمان تف‌جوشی وابسته می‌باشد. بدیهی است که تف‌جوشی در دماهای بالاتر و یا افزایش زمان تف‌جوشی می‌تواند موجب کاهش کسر سطحی تخلخل‌های باقیمانده در پوسته شود. باید توجه داشت که میزان تخلخل‌ها باقیمانده در پوسته تاثیر شدیدی بر ویژگی‌های مکانیکی گوی‌های توخالی خواهد گذاشت. کاهش کسر سطحی تخلخل‌ها وابسته به اندازه و نوع پوشش پودرها نیز می‌باشد. استفاده از پودرهای کوچکتر موجب افزایش چگالی ظاهری پودرها می‌شود که در نتیجه، بهبود میزان تخلخل‌ها را سبب می‌شود. علاوه بر این، پوشش مس قرار گرفته بر روی پودرهای آهن نیز همانند افزایش دما و زمان تف‌جوشی موجب بهبود فرآیند تف‌جوشی و در نتیجه، کاهش تخلخل‌ها می‌شود.

۳-۳- ترک‌ها و حفرات

حضور ترک‌ها و حفرات در پوسته گوی‌های توخالی به عدم استفاده از فشردن در فرآیند متالورژی پودر به کار گرفته شده ارتباط پیدا می‌کند. ترک‌ها و حفرات ایجاد شده در پوسته گوی‌های توخالی فولادی به کمک تصاویر متالوگرافی تجزیه و تحلیل می‌شوند. در شکل (۴)، ترک‌ها و حفرات ایجاد شده در نمونه‌های تولیدی نمایش داده شده است. ترک‌ها و حفرات

جدول (۲): نتایج تعیین ضخامت پوسته گوی‌های تولید شده

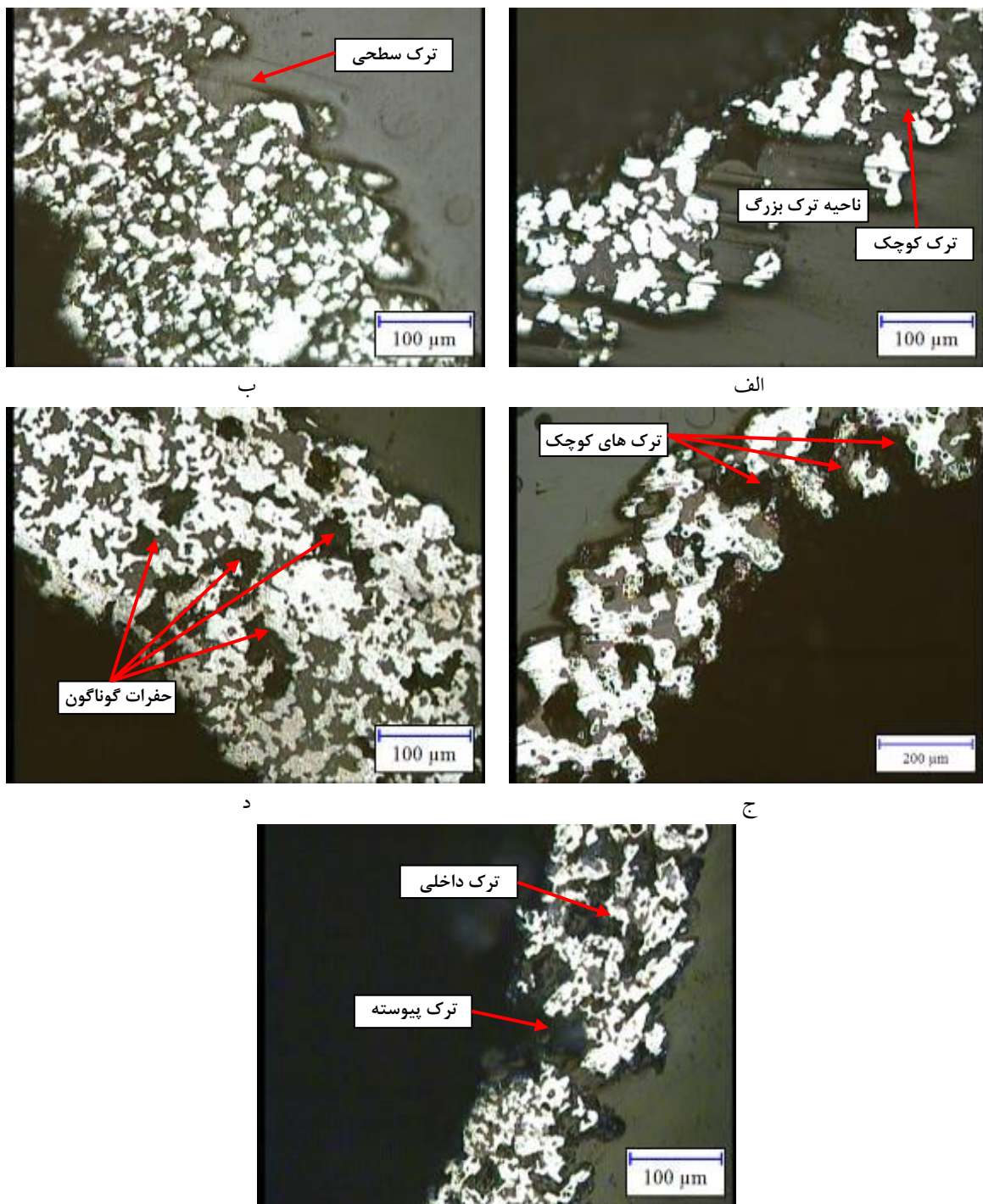
نام نمونه	میانگین ضخامت پوسته (میکرون)
A	۲۵۰
B	۲۸۵
C	۲۲۰
D	۳۰۰
E	۱۶۵

کسر سطحی تخلخل‌ها نمونه‌های تولید شده توسط پردازش تصاویر تهیه شده با استفاده از نرم‌افزار MIP انجام شد و جدول (۳) نتایج به دست آمده را نشان می‌دهد. مطابق با جدول، کسر سطحی تخلخل‌ها بین ۵۰ تا ۶۵ درصد به دست آمده است. نتایج به دست آمده در مقایسه با نتایج مطالعات بهنام و همکارنش، کسر سطحی تخلخل بیشتری را نشان می‌دهد [۱۷-۱۸]. نتایج بیان می‌کند که کمترین میزان کسر سطحی تخلخل‌ها به نمونه D و بیشترین مقدار آن به نمونه E ارتباط دارد. پایین بودن کسر سطحی تخلخل‌ها در نمونه D به تف‌جوشی مناسب در این نمونه ارتباط پیدا می‌کند. نمونه D توسط پودرهای آهن پوشش داده شده توسط مس تولید شده است که این امر موجب بهبود فرآیند تف‌جوشی و همچنین انجام تف‌جوشی حالت مایع می‌گردد. در نتیجه، کاهش در کسر سطحی تخلخل‌ها را سبب می‌شود.

پس از نمونه D، کمترین میزان کسر سطحی تخلخل‌ها مربوط به نمونه B می‌باشد که ریز بودن اندازه ذرات پور آهن به کار گرفته شده موجب تماس بیشتر ذرات، تف‌جوشی بهتر و کاهش میزان تخلخل می‌گردد. در نمونه C به علت این که اندازه ذرات پور آهن درشت می‌باشد و همچنین به علت این که مقدار زیادی ذرات مس با اندازه بزرگ افزوده شده است و در فرآیند تف‌جوشی، ذرات مس افزودنی ذوب شده و ذرات پور آهن را به یکدیگر متصل می‌سازد، حفرات بین پودرها در اثر ایجاد نیروهای کشش سطحی در فصل مشترک مذاب مس و ذرات پور آهن، درشت‌تر شده و کسر سطحی تخلخل‌ها نیز افزایش می‌یابد. در نمونه E، به علت تبخیر سطحی فلز قلع

می باشند، این ذرات به راحتی درون یکدیگر قرار می گیرند و سطوح تماس آن ها افزایش می یابد. این امر موجب می گردد که ترک ها و حفرات با ابعاد بسیار کوچک تشکیل شوند.

موجود در پوسته گوی های توخالی تاثیر شدیدی بر رفتار مکانیکی آن ها خواهد داشت. در نمونه B، به علت این که اندازه ذرات پودر آهن در مقایسه با نمونه A بسیار کوچک



شکل (۴): نمایش ترک ها و حفرات ایجاد شده در پوسته گوی های فولادی: (الف): نمونه A، (ب): نمونه B، (ج): نمونه C، (د): نمونه D و (ه): نمونه E

۵- مراجع

- [1] J. Banhart, "Manufacture, characterisation and application of cellular metals and metal foams", *Progress in Materials Science*, Vol. 46, pp. 559–632, 2001.
- [2] M. F. Ashby, A. G. Evans, N. A. Fleck, L. J. Gibson, J. W. Hutchinson & H. N. G. Wadley, *Metal Foams: A Design Guide*, Butterworth-Heinemann, Massachusetts, 2000.
- [3] H. P. Degischer & B. Kriszt, *Handbook of Cellular Metals, Production, Processing and Applications*, Wiley-VCH/Verlag GmbH, Weinheim, Germany, 2002.
- [۴] م. سبزواری، س. ع. سجادی و ا. مولودی، "بررسی خواص فوم نانوکامپوزیتی مس/آلومینیا تولید شده به روش متالورژی پودر"، *فصلنامه علمی پژوهشی فرآیندهای نوین در مهندسی مواد*، سال نهم، شماره چهارم، زمستان ۱۳۹۴.
- [5] Y. Sugimura, J. Meyer, M. Y. He, H. Bart-Smith, J. Grenstedt & A. G. Evans, "On the mechanical performance of closed cell Al alloy foams", *Acta Materialia*, Vol. 45, No. 12, pp. 5245-5259, 1997.
- [6] Y. Sugimura, A. Rabiei, A. G. Evans, A. M. Harte & N. A. Fleck, "Compression fatigue of cellular Al alloys", *Journal of material science and engineering*, Vol. 269A, pp. 38-48, 1999.
- [7] A. Rabiei, A. O'Neill & B. Neville, "Processing and development of a new high strength metal foam", *MRS Fall 2004 Proceedings*, Vol. 841, pp. 517-526, 2005.
- [8] T. J. Lim, B. Smith & D. L. McDowell, "Behavior of a random hollow sphere metal foam", *Acta Materialia*, Vol. 50, pp. 2867-2879, 2002.
- [9] E. Baumeister, S. Klaeger, A. Kaldos, "Lightweight, hollow-sphere-composite (HSC) materials for mechanical engineering applications", *Journal of Materials Processing Technology*, Vol. 155–156, pp. 1839–1846, 2004.
- [10] P. Lhuissier, L. Salvo & Y. Brechet, "Sintered hollow spheres: Random stacking behaviour under uniaxial tensile loading", *Scripta Materialia*, Vol. 63, pp. 277–280, 2010.

در نمونه‌های C و D حضور مس و انجام تف‌جوشی حالت مایع موجب می‌گردد که ترک‌ها و حفرات بزرگ به مقدار بسیار کم مشاهده شوند. شایان ذکر است که حفرات و ترک‌ها در نمونه D نسبت به نمونه C کمتر می‌باشد که احتمالاً به توزیع یکنواخت‌تر مس در این نمونه ارتباط پیدا می‌کند. قابل ذکر است که استحکام نمونه‌های B، C و D به صورت کیفی نسبت به نمونه‌های A و E بهتر می‌باشد که به پایین بودن میزان حفرات و ترک‌ها و همچنین تف‌جوشی بهتر در این نمونه‌ها ارتباط می‌یابد. در نمونه E که پودرهای آهن مورد استفاده برای تولید آن توسط برنز پوشش دهی شده‌اند، به علت تغییر سطحی عنصر قلع در دمای تف‌جوشی و خروج بخارات تولید شده از لابه‌لای ذرات پودر آهن، میزان ترک‌ها و حفرات بیشتر می‌باشد. در بررسی‌های انجام شده بر روی گوی‌های توخالی سوراخ شده، مشخص شد که نمونه‌های A و E بیشترین مقدار گوی‌های توخالی سوراخ شده را دارند.

۶- نتیجه‌گیری

در پژوهش حاضر، گوی‌های توخالی فولادی با استفاده از یک روش متالورژی پودر تولید شدند و نتایج به دست آمده در زیر فهرست شده‌اند.

- ۱- استفاده از این روش می‌تواند به صورت موفقیت‌آمیز به منظور تولید گوی‌های توخالی فولادی به کار گرفته شود.
- ۲- در این روش، قابلیت تغییر در قطرهای داخلی و خارجی، ضخامت پوسته و حتی شکل هندسی گوی‌های توخالی فولادی وجود دارد.
- ۳- اندازه ذرات پودر آهن، افزودنی مس و نوع پوشش پودرهای آهن از عوامل موثر بر ویژگی‌های گوی‌های توخالی محسوب می‌شوند.
- ۴- گوی‌های توخالی تولید شده توسط پودرهای آهن کوچک‌تر از ۱۰ میکرون، پودرهای آهن حاوی ۱۰ درصد مس افزودنی و پودرهای آهن پوشش شده توسط مس بهترین خصوصیات را از خود نشان می‌دهند.

- of randomly packed hollow sphere (RHS) cell wall”, Materials Science and Engineering, Vol. 365A, pp. 130–135, 2003.
- [20] Z. Y. Gao, “Mechanical behaviour of metallic hollow sphere materials: experimental study” Journal of Aerospace Engineering, Vol. 21, pp. 206–217, 2008.
- [21] A. Fallet, P. Lhuissier, L. Salvo & Y. Brechet, “Mechanical behaviour of metallic hollow spheres foam”, Advanced Engineering Materials, Vol. 10, pp. 858–862, 2008.
- [22] M. Reinfried, U. Waag, G. Stephani, F. Bretschneider, “Deformation behaviour of ultra light steel based hollow sphere structures”, Euro Mat 2003, Switzerland, 2003.
- [23] T. Fiedler, H. S. Kim, I. V. Belova, S. W. Sloan, G. E. Murch & A. Ochsner, “Elastic finite element analysis on cross-sections of random hollow sphere structures”, Materialwissenschaft und Werkstofftechnik, Vol. 41, pp. 250–256, 2010.
- [24] P. Yu, G. Stephani, S. D. Luo, H. Goehler & M. Qian, “Microwave-assisted fabrication of titanium hollow spheres with tailored shell structures for various potential applications”, Materials Letters, Vol. 86, pp. 84–87, 2012.
- [25] A. Ochsner & C. Augustin, “Multifunctional metallic hollow sphere structures: manufacturing, properties and application”, Engineering Materials, pp. 101–107, 2009.
- [11] L. J. Gibson & M. F. Ashby, Cellular Solids: Structure and Properties, 2nd ed. Cambridge, Cambridge University Press, 1997.
- [12] O. Andersen, G. Stephani, Handbook of cellular metals. Production, Processing, Applications, Edited by H. P. Degischer, B. Kriszt, Weinheim, Wiley-VCH Verlag GmbH, 2002.
- [13] L. J. Vendra, “Processing and characterization of aluminum-steel composite metal foams”, Metal Foams, Raleigh, North Carolina, 2008.
- [14] Cellular Metallic Materials, Frounhofer, IFAM.
- [15] M. Jaeckel, H. Smigilski, “Coating of polymeric spheres with particles”, European Patent DE 3724156, 1988.
- [16] C. Augustin & W. Hungerbach, “Production of hollow sphere (HS) and hollow structure (HSS)”, Materials Letters, Vol. 63, pp. 1109–1112, 2009.
- [17] M. Behnam, A. S. Golezani & M. M. Lima, “The effect of size and morphology of iron powder on shell density in low carbon steel hollow spheres”, Powder Metallurgy Progress, Vol. 11, pp. 185–192, 2011.
- [18] M. Behnam, A. S. Golezani & M. M. Lima, “Optimization of surface quality and shell porosity in low carbon steel hollow spheres produced by powder metallurgy”, Powder Technology, Vol. 235, pp. 1025–1029, 2013.
- [19] K. A. Khor, L. G. Yu, O. Andersen & G. Stephani, “Effect of spark plasma sintering (SPS) on the microstructure and mechanical properties

۶- پی نوشت

- [1] T. J. Lim